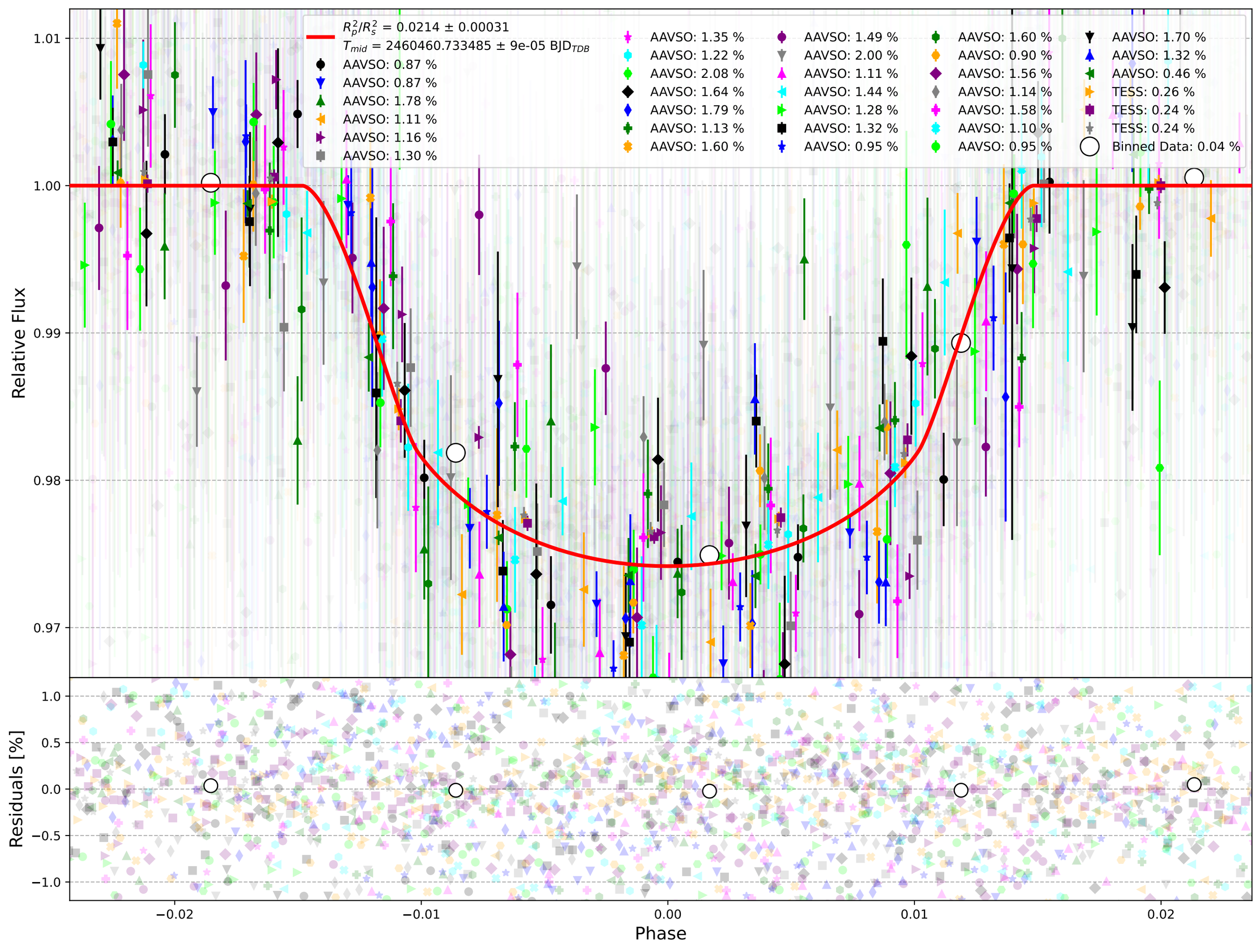
R_p^2/R_s^2 = 0.0214 ± 0.00031
T_{mid} = 2460460.733485 ± 9e-05 BJD_{TDB}
AAVSO: 0.87 %
AAVSO: 0.87 %
AAVSO: 1.78 %
AAVSO: 1.11 %
AAVSO: 1.16 %
AAVSO: 1.30 %
AAVSO: 1.35 %
AAVSO: 1.22 %
AAVSO: 2.08 %
AAVSO: 1.64 %
AAVSO: 1.79 %
AAVSO: 1.13 %
AAVSO: 1.60 %
AAVSO: 1.49 %
AAVSO: 2.00 %
AAVSO: 1.11 %
AAVSO: 1.44 %
AAVSO: 1.28 %
AAVSO: 1.32 %
AAVSO: 0.95 %
AAVSO: 1.60 %
AAVSO: 0.90 %
AAVSO: 1.56 %
AAVSO: 1.14 %
AAVSO: 1.58 %
AAVSO: 1.10 %
AAVSO: 0.95 %
AAVSO: 1.70 %
AAVSO: 1.32 %
AAVSO: 0.46 %
TESS: 0.26 %
TESS: 0.24 %
TESS: 0.24 %
Binned Data: 0.04 %
Relative Flux
1.01
1.00
0.99
0.98
0.97
Residuals [%]
1.0
0.5
0.0
−0.5
−1.0
−0.02
−0.01
0.00
0.01
0.02
Phase